

# Sistemi avanzati per il riconoscimento



<http://www.adherents.com/lit/comics/img/p/PlasticMan.jpg>

## Descrittori di forma



# Introduzione

- **Descrittore di forma:**
  - insieme di numeri prodotti per descrivere una forma
- l'importante è che i descrittori di forma siano **discriminativi** nei confronti della forma che individuano
- Avvertenze: come contare i pixel dei contorni?
  - 1 per i pixel 4-connessi
  - $\sqrt{2}$  per i pixel 8-connessi (i pixel diagonali)



# Descrittori elementari

- Alcuni semplici descrittori di forma:
  - **Area**: il numero di pixel contenuti nella forma
  - **Perimetro**: il numero di pixel sul contorno della forma
  - **(Non)Compattezza o (non)circularità**:  $\text{perimetro}^2 / \text{area}$ 
    - la forma più compatta è il cerchio ( $4\pi$ ), tutte le altre forme hanno compattezza  $> 4\pi$
  - **Eccentricità**: il rapporto tra la corda più lunga nella forma e la più lunga corda perpendicolare ad essa
  - **Rettangolarità**: quanto rettangolare è una forma:  $\text{area della forma} / \text{area della bounding-box}$
  - **Orientazione**: angolo dell'asse maggiore della forma



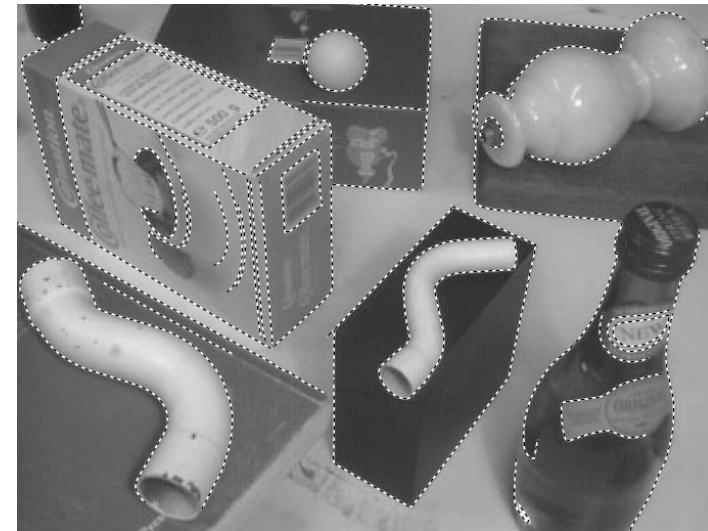
# Tassonomia

- Esistono 2 tipologie di descrittori di forma:
  - **Region-based**
    - basati sull'area della forma
  - **Boundary-based**
    - basati sugli edge della forma



# Descrittori di forma basati sul contorno –spline

- Spline: curve parametriche
  - nello spazio, parametro  $s$ , crescente, reale
    - $s$  determina lo sviluppo della curva
    - $x(s), y(s) = \langle x(s), y(s) \rangle$ , con  $x, y$  particolari funzioni spline
  - nel tempo, parametro  $t$ 
    - $r(s, t) = \langle x(s, t), y(s, t) \rangle$
- Spline di ordine  $d$ 
  - funzione polinomiale a tratti
  - ogni tratto (= span) polinomio di ordine  $d$



# Descrittori di forma basati sul contorno –spline

- Ordine = numero di coefficienti necessari a definire un polinomio
- Grado = massimo esponente del polinomio

$$a + bx + cx^2$$

- Ordine = 3, grado = 2
- Di solito si usano polinomi di ordine 3 o 4
- Per approssimare una curva qualunque
  - Si aumenta l'ordine
  - si aumenta il numero di span (scelta migliore computazionalmente)



# Descrittori di forma basati sul contorno – B-spline

- Una spline  $x(s)$  può essere vista come somma pesata di funzioni base (le B-spline, appunto)  $B_n(s)$ ,  $n=0, \dots, N_B-1$  – da cui si parla di rappresentazione tramite B-spline, o semplicemente B-spline

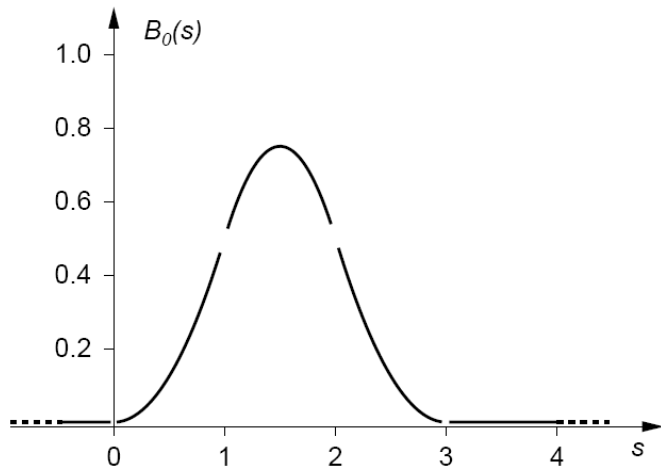
$$x(s) = \sum_{n=0}^{N_B-1} \overset{\text{pesi}}{x_n} B_n(s) \quad \left| \quad x(s) = \mathbf{B}(s)^T \mathbf{Q}^x \right. \begin{cases} \mathbf{Q}^x = \begin{pmatrix} x_0 \\ \vdots \\ x_{N_B-1} \end{pmatrix} \\ \mathbf{B}(s) = (B_0(s), B_1(s), \dots, B_{N_B-1}(s))^T \end{cases}$$

- Nel caso più semplice (caso regolare) ogni funzione base è rappresentata da  $d$  polinomi ognuno definito su uno span
- Per semplicità, definiamo uno span avente lunghezza unitaria
- Tutti gli span sono collegati in corrispondenza di nodi (*knots*)
- In questo caso, la curva risultante ha continuità  $d-2$



# Funzione di base

- Esempi:



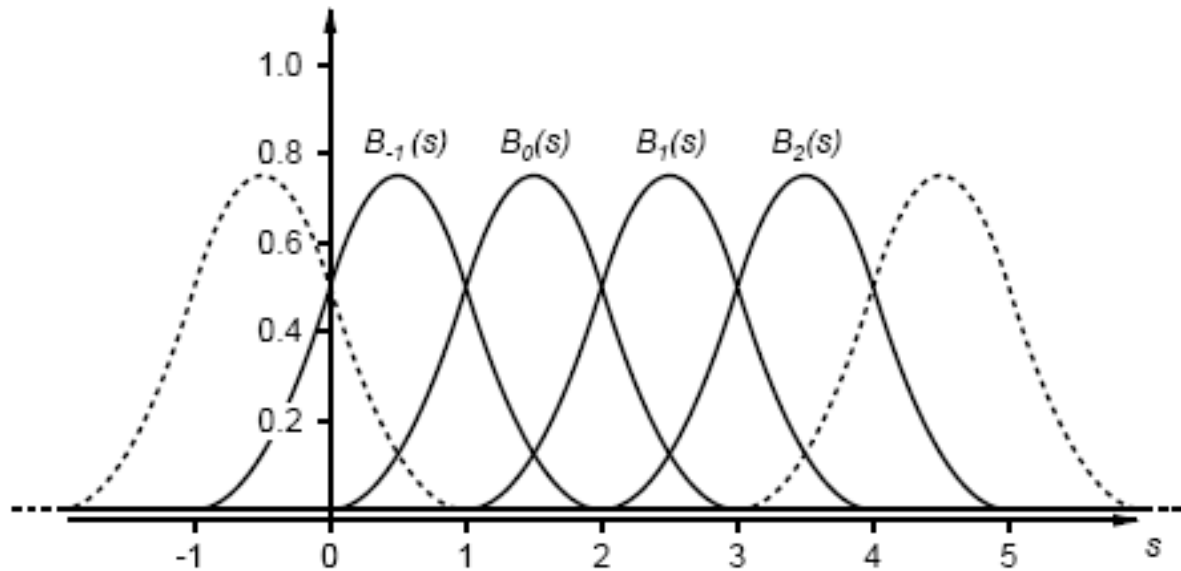
$$B_0(s) = \begin{cases} s^2/2 & \text{if } 0 \leq s < 1 \\ \frac{3}{4} - (s - \frac{3}{2})^2 & \text{if } 1 \leq s < 2 \\ (s - 3)^2/2 & \text{if } 2 \leq s < 3 \\ 0 & \text{otherwise} \end{cases}$$

- Funzione base  $B_0(s)$  di ordine 3
- definita su 3 span
- parte da  $s=0$





# Funzioni di base – basi equispaziate



- Esempi:

- Le spline si possono localizzare  $B_n(s) = B_0(s - n)$
- Le basi in teoria si definiscono anche all'infinito, in pratica  $0 \leq s \leq L$



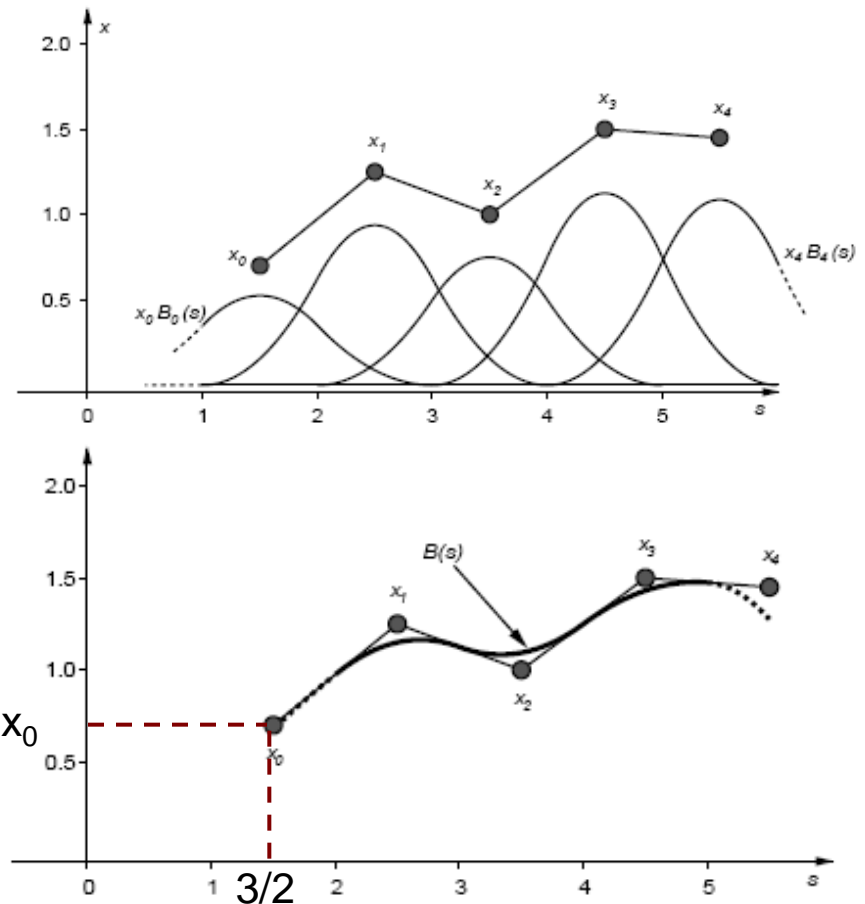
# Creazione di una B-spline

- Esempi:

$$Q^x = \begin{pmatrix} x_0 \\ \vdots \\ x_{N_B-1} \end{pmatrix}$$

- $Q^x$  individua la *forma* della curva
- la spline approssima i punti dati da

<ampiezzaspan/2,peso>



# Forma spazio-temporale di una B-spline

- Generalizzando, nel caso di una curva in 2D, tempo-variante, avro'  $\mathbf{r}(s, t)$

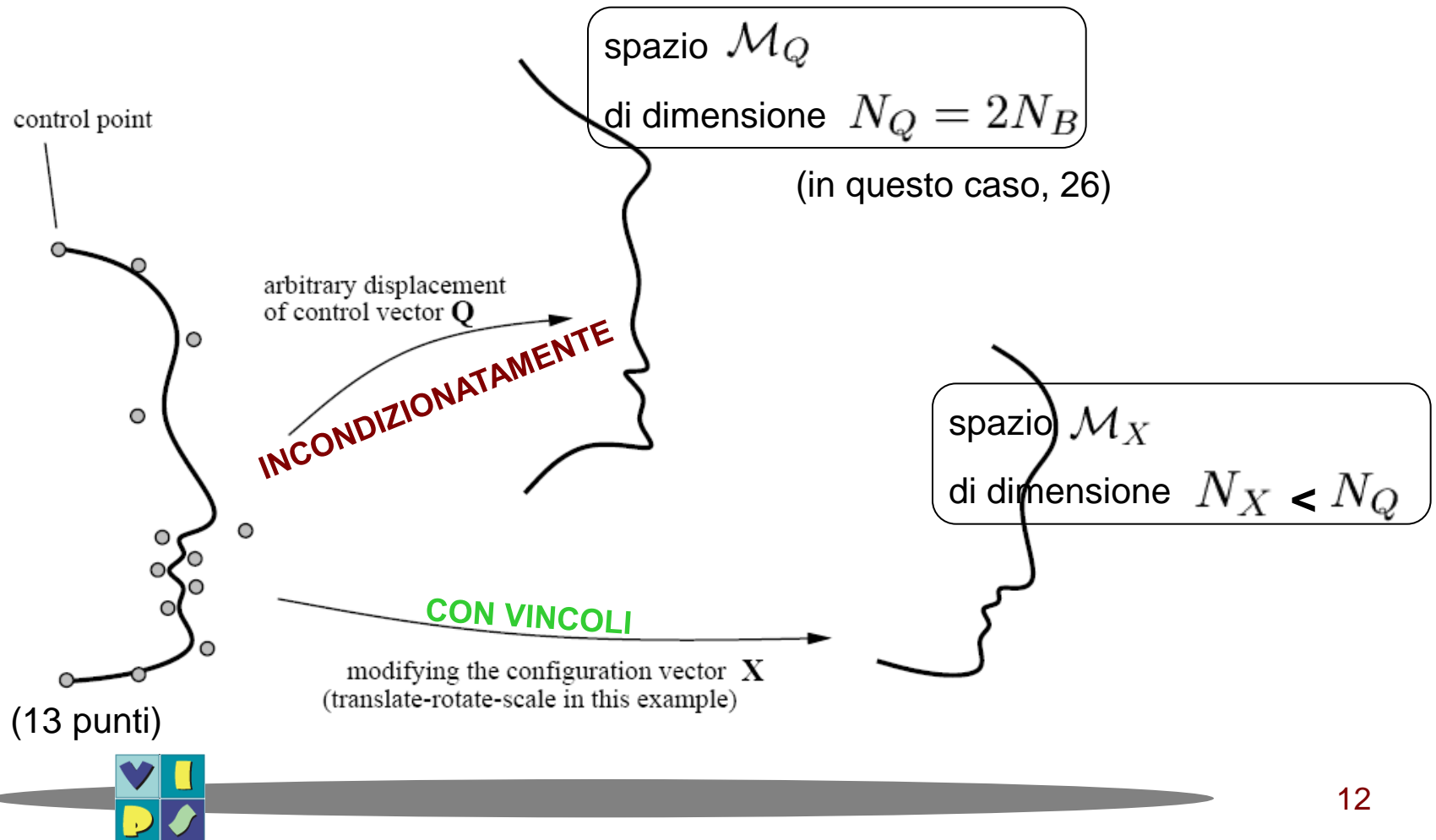
$$\mathbf{r}(s, t) = (\mathbf{B}(s) \cdot \mathbf{Q}^x(t), \mathbf{B}(s) \cdot \mathbf{Q}^y(t)) \quad \text{for } 0 \leq s \leq L$$

con  $\mathbf{Q} = \begin{pmatrix} \mathbf{Q}^x \\ \mathbf{Q}^y \end{pmatrix}$



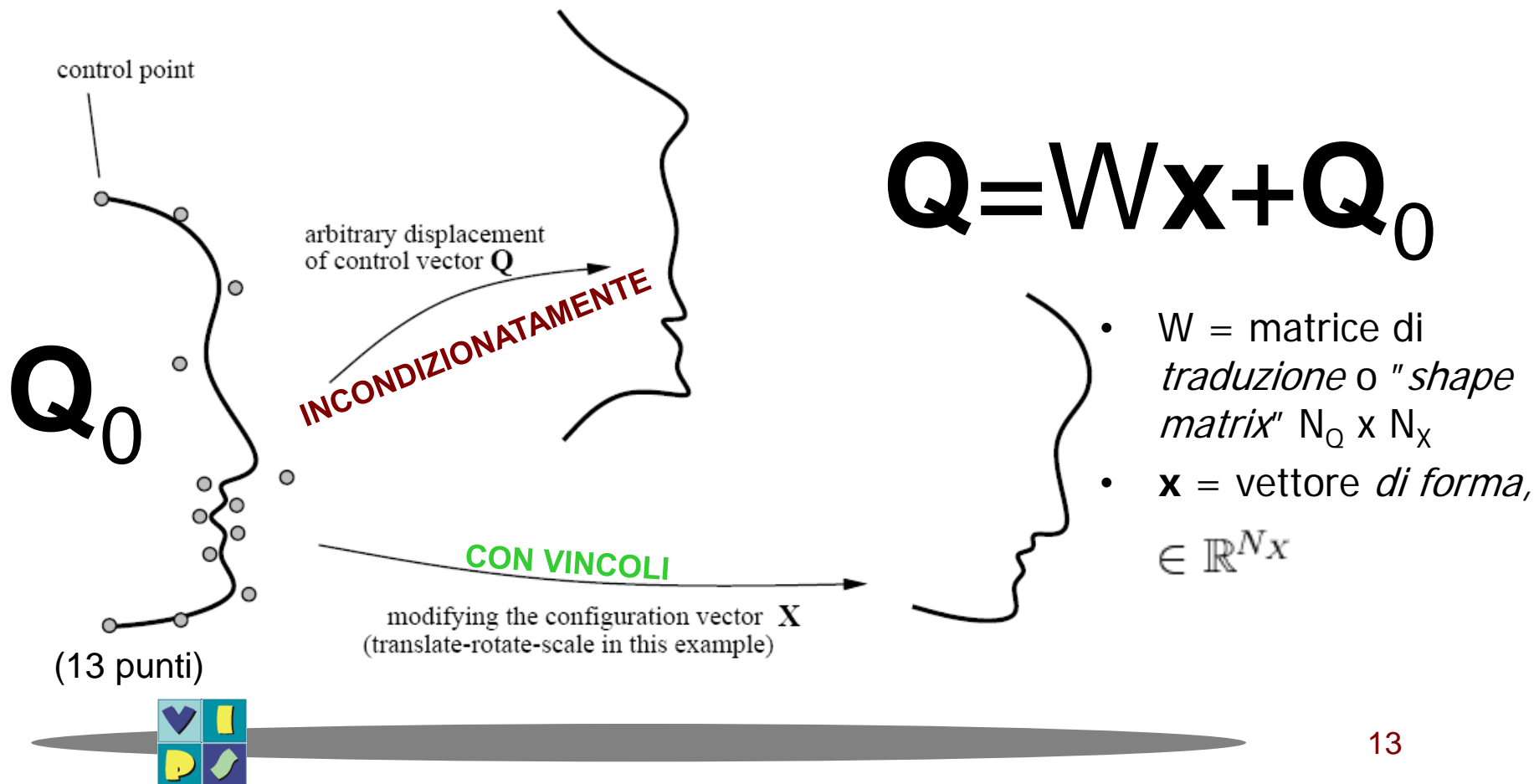
# Evoluzione di una B-spline

- Come posso modificare  $\mathbf{Q}$ ? Due scelte:



# Evoluzione vincolata di una B-spline

- Come posso modificare  $\mathbf{Q}$ ? Due scelte:



# Trasformazioni

- Voglio avere trasformazioni affini
  - Classe di trasformazioni 2D lineari geometriche che mappano variabili (valori di intensità di pixel localizzati in un'immagine) in nuove variabili (in un'immagine di output), applicando una **combinazione lineare** di
    - traslazioni,
    - rotazioni,
    - scalatura,
    - **shearing**, ossia scalatura non uniforme in determinate direzioni
- E' possibile definire una trasformazione affine di un punto generico appartenente alla curva bspline come

$$\mathbf{r}(s) = \underset{2 \times 1}{\mathbf{u}} + \underset{2 \times 2}{M} \mathbf{r}_0(s)$$



# Trasformazioni affini

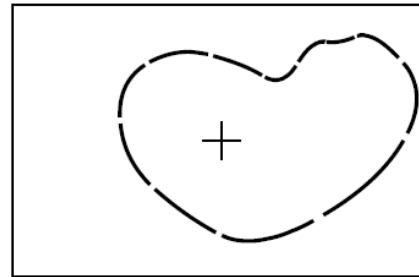
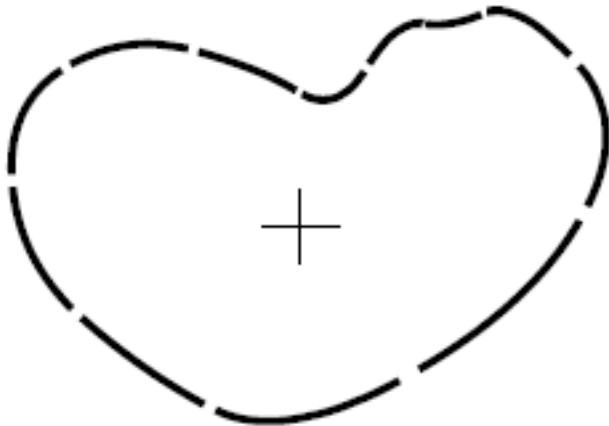
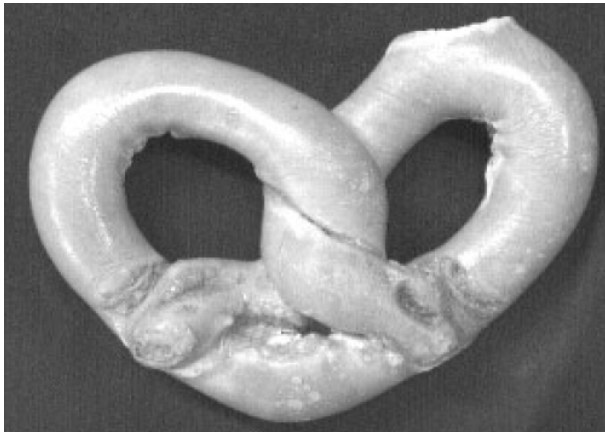
$$\mathbf{r}(s) = \mathbf{u} + M\mathbf{r}_0(s)$$

- Traslazione  $u = \begin{bmatrix} u_1 \\ u_2 \end{bmatrix}$   $M = \begin{bmatrix} 1 & 0 \\ 0 & 1 \end{bmatrix}$
- Rotazione  $u = \begin{bmatrix} 0 \\ 0 \end{bmatrix}$   $M = \begin{bmatrix} \cos(\theta) & -\sin(\theta) \\ \sin(\theta) & \cos(\theta) \end{bmatrix}$   $\ominus$ : angolo positivo che indica rotazioni clockwise
- Scalatura  $u = \begin{bmatrix} 0 \\ 0 \end{bmatrix}$   $M = \begin{bmatrix} a_{11} & 0 \\ 0 & a_{22} \end{bmatrix}$

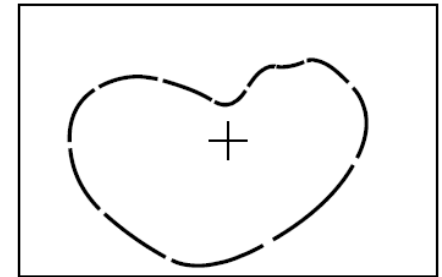


# Esempi di trasformazioni

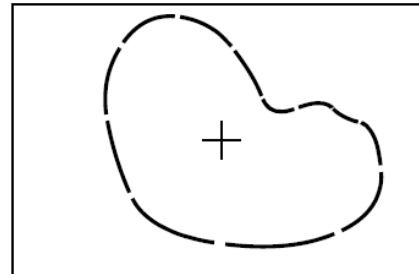
$$\mathbf{r}(s) = \mathbf{u} + M\mathbf{r}_0(s)$$



translate horizontally



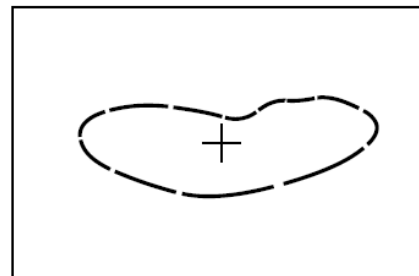
translate vertically



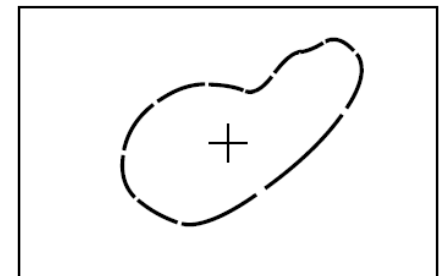
rotate



scale horizontally



scale vertically



scale diagonally





# Identificatore di una curva

- Questo significa che ho 6 parametri da settare = 6 *gradi di libertà*
- Questi gradi di libertà possono essere linerizzati su un unico vettore  $\mathbf{x} \in \mathbb{R}^{N_x=6}$

$$\mathbf{x} = (u_1, u_2, M_{11} - 1, M_{22} - 1, M_{21}, M_{12})^T$$


$$\mathbf{Q} = \mathbf{W}\mathbf{x} + \mathbf{Q}_0$$



# Matrice di traduzione-*shape matrix*

- La matrice di traduzione è

$$W = \begin{pmatrix} \mathbf{1} & \mathbf{0} & \mathbf{Q}_0^x & \mathbf{0} & \mathbf{0} & \mathbf{Q}_0^y \\ \mathbf{0} & \mathbf{1} & \mathbf{0} & \mathbf{Q}_0^y & \mathbf{Q}_0^x & \mathbf{0} \end{pmatrix}$$

$\uparrow$   $\uparrow$   
 $\mathbf{x}$   $\mathbf{y}$   
traslazioni

(riguardano)

rotazioni/scaling

$$\begin{aligned} \mathbf{1} &= (1 \ 1 \ \dots \ 1)^T \\ \mathbf{0} &= (0 \ 0 \ \dots \ 0)^T \end{aligned}$$

sono vettori con  $N_B$  componenti  
(= numero di funzioni base localizzate  
~ numero di pesi = numero punti di controllo)

$$\mathbf{Q} = \mathbf{W}\mathbf{x} + \mathbf{Q}_0$$



# Esempi di identificatori

- Dati:
$$W = \begin{pmatrix} 1 & 0 & Q_0^x & 0 & 0 & Q_0^y \\ 0 & 1 & 0 & Q_0^y & Q_0^x & 0 \end{pmatrix}$$
$$\mathbf{x} = (u_1, u_2, M_{11} - 1, M_{22} - 1, M_{21}, M_{12})^T$$

in pratica:

$\mathbf{x} = (0, 0, 0, 0, 0, 0)^T$  represents the original template shape  $Q_0$

$\mathbf{x} = (1, 0, 0, 0, 0, 0)^T$  represents the template translated 1 unit to the right,

$\mathbf{x} = (0, 0, 1, 1, 0, 0)^T$  represents the template doubled in size

$\mathbf{x} = (0, 0, \cos \theta - 1, \cos \theta - 1, -\sin \theta, \sin \theta)^T$  represents the template rotated through angle  $\theta$

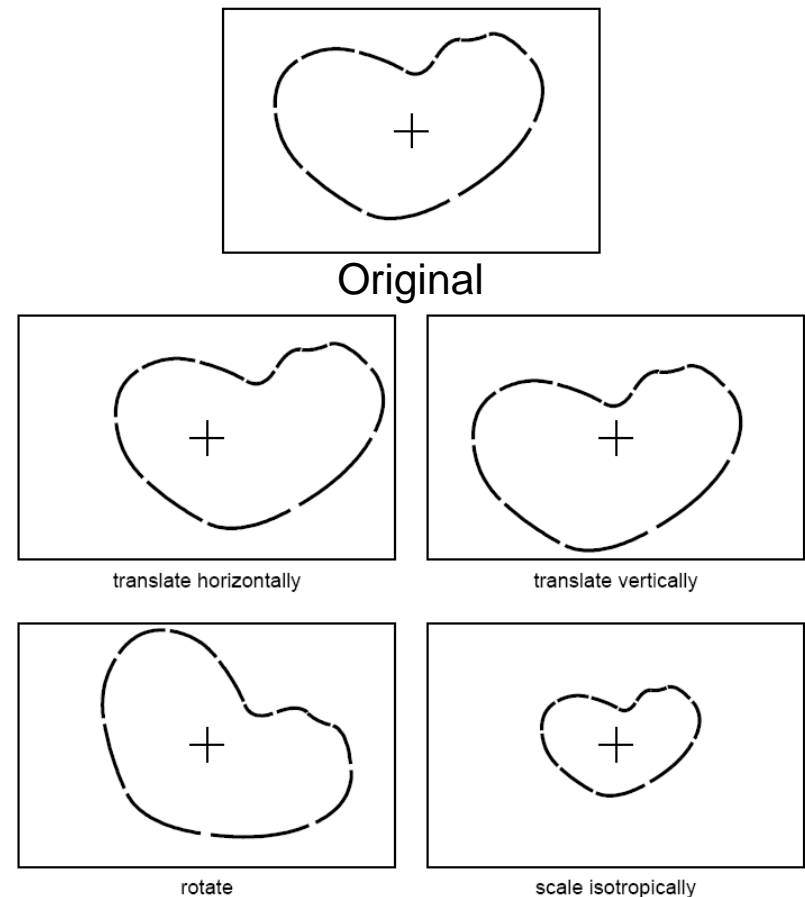
$\mathbf{x} = (0, 0, 1, 0, 0, 0)^T$  represents the template doubled in width



# Trasformazioni euclidee

- Semplificando la modellazione, e restringendosi a trasformazioni euclidee ho una diversa matrice di traduzione

$$W = \begin{pmatrix} 1 & 0 & Q_0^x & -Q_0^y \\ 0 & 1 & Q_0^y & Q_0^x \end{pmatrix}$$



# Ancora identificatori...

$\mathbf{x} = (0, 0, 0, 0)^T$  represents the original template shape  $\mathbf{Q}_0$

$\mathbf{x} = (1, 0, 0, 0)^T$  represents the template translated 1 unit to the right, so that, from (4.1),

$$\mathbf{Q} = \mathbf{Q}_0 + \begin{pmatrix} 1 \\ 0 \end{pmatrix}$$

$\mathbf{x} = (0, 0, 1, 0)^T$  represents the template doubled in size

$$\mathbf{Q} = 2\mathbf{Q}_0$$

$\mathbf{x} = (0, 0, \cos \theta - 1, \sin \theta)^T$  represents the template rotated through angle  $\theta$ :

$$\mathbf{Q} = \begin{pmatrix} \cos \theta \mathbf{Q}_0^x - \sin \theta \mathbf{Q}_0^y \\ \sin \theta \mathbf{Q}_0^x + \cos \theta \mathbf{Q}_0^y \end{pmatrix}.$$



# Esercizio

**Esercizio:** a cosa corrisponde questa trasformazione, in termini di fattore di scala e rotazione?

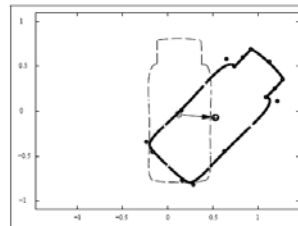
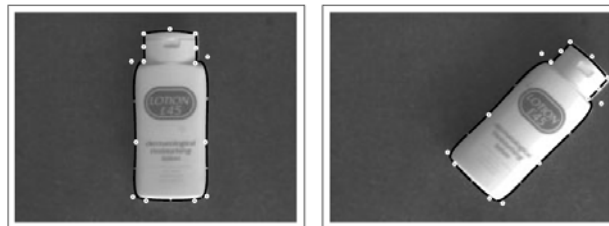
$$\mathbf{x} = (0.465, 0.047, -0.282, -0.698)^T$$

scalatura

$$\sqrt{(1 - 0.282)^2 + 0.698^2} = 1.001$$

rotazione

$$\arctan(1 - 0.282, -0.698) = -44.2^\circ$$



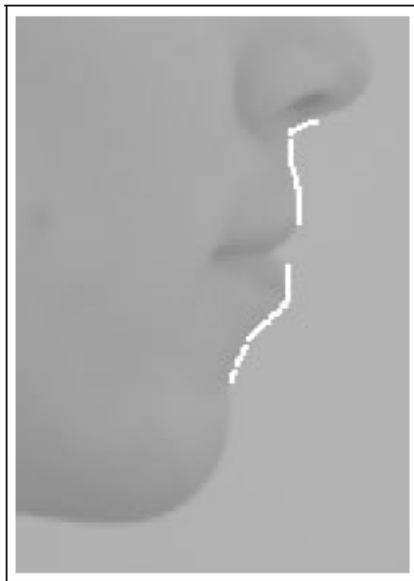
# Trasformazioni non rigide

- Le trasformazioni affini/euclidee sono convenienti per modellare l'aspetto del moto 3D di un oggetto rigido
- Per le situazioni di deformazione (moto non rigido) questi strumenti non sono sufficienti
- Due soluzioni:
  1. Utilizzo dei **key-frames**
    - semplice ma poco espressivo
  2. **Learning** dello spazio delle deformazioni
    - si utilizza **PCA**

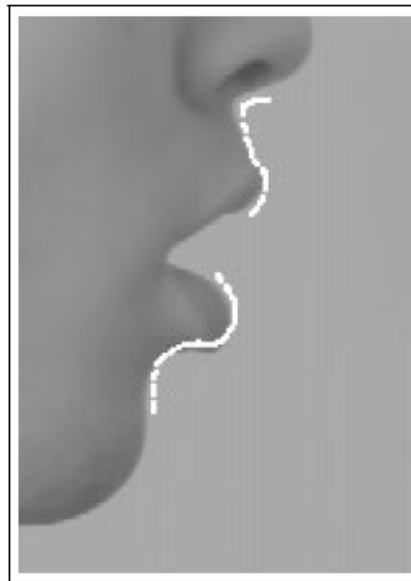


# Trasformazioni non rigide con key frames

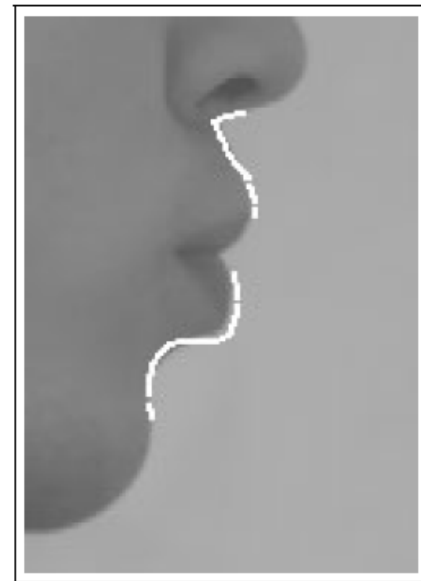
- Una curva viene vista come **combinazione lineare di forme elementari** (NB: non modello ora alcuna trasformazione)



*Template  $Q_0$*



*Key-frame: opening  $Q'_1$*



*Key-frame: protrusion  $Q'_2$*





# Trasformazioni non rigide con key frames (2)

- Una curva viene vista come **combinazione lineare** di **forme elementari** (NB: non modello ora alcuna trasformazione)
- Parto dalla solita espressione vincolante la forma della curva

$$\mathbf{Q} = \mathbf{W}\mathbf{x} + \mathbf{Q}_0$$

- Sfrutto i due k-frames  $\mathbf{Q}'_1, \mathbf{Q}'_2$  e costruisco la matrice di traduzione

$$\mathbf{W} = \begin{pmatrix} \mathbf{Q}_1^x & \mathbf{Q}_2^x \\ \mathbf{Q}_1^y & \mathbf{Q}_2^y \end{pmatrix}$$

dove

$$\mathbf{Q}_i = \mathbf{Q}'_i - \mathbf{Q}_0$$



# Trasformazioni non rigide con key frames (3)

- A questo punto risulta intuitivo formare nuove configurazioni

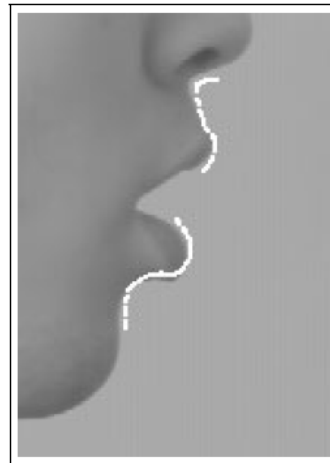
$\mathbf{x} = (0, 0)^T$  represents the closed mouth;

$\mathbf{x} = (1/2, 0)^T$  represents the half-open mouth;

$\mathbf{x} = (1/4, 1/2)^T$  represents the mouth, half-protruding and slightly open.



Template  $Q_0$



Key-frame: opening  $Q'_1$



Key-frame: protrusion  $Q'_2$



# Trasformazioni non rigide con key frames (4)

- Per includere le trasformazioni (euclidee), la matrice utile risulta essere

$$W = \begin{pmatrix} 1 & 0 & Q_0^x & -Q_0^y & Q_1^x & -Q_1^y & Q_2^x & -Q_2^y \\ 0 & 1 & Q_0^y & Q_0^x & Q_1^y & Q_1^x & Q_2^y & Q_2^x \end{pmatrix}$$

- quindi:

$\mathbf{X} = (u, 0, 0, 0, 1, 0, 0, 0)^T$  represents the fully open mouth, shifted to the right by  $u$ ;

$\mathbf{X} = (0, 0, \cos \theta - 1, \sin \theta, 0, 0, \frac{1}{2} \cos \theta, \frac{1}{2} \sin \theta)^T$  represents the closed mouth, half-protruding and rotated through an angle  $\theta$ .



# Trasformazioni non rigide con key frames - limiti

- Problema:
  - come scegliere i k-frames?
  - quanti k-frames?
    - Se ho una sequenza di M frames, avro'  $\mathbf{Q}_1, \mathbf{Q}_2, \dots, \mathbf{Q}_M$  forme: sono tutte indicative di forme differenti?

$$W = \begin{pmatrix} 1 & 0 & Q_0^x & -Q_0^y & Q_1^x & -Q_1^y & Q_2^x & -Q_2^y \\ 0 & 1 & Q_0^y & Q_0^x & Q_1^y & Q_1^x & Q_2^y & Q_2^x \end{pmatrix}$$

$\xrightarrow{N_x}$

- Soluzione:
  - uso PCA → ...out of the scope!!!



# Studio della dinamica di una B-spline

- Dato una forma in movimento, voglio dedurne la dinamica (da inserire in nel tracking, per esempio)
- Uso un modello auto regressivo (*auto-regressive process*, ARP) del secondo ordine

$$\mathbf{x}_t = A_2 \mathbf{x}_{t-2} + A_1 \mathbf{x}_{t-1} + \mathbf{D}_0 + B_0 \mathbf{w}_t$$

$\mathbf{w}_t$  = valori estratti da distribuzioni normali

$\mathbf{D}_0$  = matrice di offset deterministica

$A_2, A_1$  = matrici, componenti deterministiche del sistema

$B_0$  = matrice, componente stocastica del sistema



# Studio della dinamica di una B-spline (2)

$$\mathbf{x}_t = A_2 \mathbf{x}_{t-2} + A_1 \mathbf{x}_{t-1} + \mathbf{D}_0 + B_0 \mathbf{w}_t$$

- Per semplicità notazionale possiamo vedere anche

$$\mathbf{X}_t = \begin{pmatrix} \mathbf{x}_{t-1} \\ \mathbf{x}_t \end{pmatrix}$$

quindi

$$\mathbf{X}_t = A \mathbf{X}_{t-1} + \mathbf{D} + B \mathbf{w}_t$$

dove

$$A = \begin{pmatrix} 0 & I \\ A_2 & A_1 \end{pmatrix}, \quad \mathbf{D} = \begin{pmatrix} 0 \\ \mathbf{D}_0 \end{pmatrix} \quad \text{and} \quad B = \begin{pmatrix} 0 \\ B_0 \end{pmatrix}$$



# Studio della dinamica di una B-spline (3)

RICORDA:  $\mathbf{x}_t = A_2 \mathbf{x}_{t-2} + A_1 \mathbf{x}_{t-1} + \mathbf{D}_0 + B_0 \mathbf{w}_t$

- Lo studio dei parametri puo' essere formulato da un punto di vista statistico
- Voglio massimizzare la likelihood dei dati, dati i parametri

$$L(\mathbf{x}_1, \dots, \mathbf{x}_M | A_1, A_2, B_0, \mathbf{D}_0) \equiv \log p(\mathbf{x}_1, \dots, \mathbf{x}_M | A_1, A_2, B_0, \mathbf{D}_0)$$

$$p(\mathbf{x}_1, \dots, \mathbf{x}_M | A_1, A_2, B_0, \mathbf{D}_0) \propto \prod_{k=3}^M p_{B_0 \mathbf{w}_k}(\mathbf{x}_k - A_2 \mathbf{x}_{k-2} - A_1 \mathbf{x}_{k-1} - \mathbf{D}_0)$$

Per l'indipendenza tra i vettori di forma e il rumore

La modello come una normale multivariata



# Studio della dinamica di una B-spline (4)

RICORDA:  $\mathbf{x}_t = A_2 \mathbf{x}_{t-2} + A_1 \mathbf{x}_{t-1} + \mathbf{D}_0 + B_0 \mathbf{w}_t$

- Pertanto la forma della log-likelihood diventa

$$L(\mathbf{x}_1 \dots \mathbf{x}_M | A_1, A_2, B_0, \mathbf{D}_0) = -\frac{1}{2} \sum_{k=3}^M \left| B_0^{-1} (\mathbf{x}_k - A_2 \mathbf{x}_{k-2} - A_1 \mathbf{x}_{k-1} - \mathbf{D}_0) \right|^2 - (M-2) \log \det B_0$$

- I parametri buoni danno alta likelihood. Quindi la devo massimizzare. E' una Normale multivariata, ed esiste forma chiusa per la massimizzazione.





Given a training set  $\{\mathbf{x}_1, \dots, \mathbf{x}_M\}$  of shapes from an image sequence, learn the parameters  $A_1$ ,  $A_2$ ,  $B_0$  and  $\mathbf{D}_0$  for a second-order AR process that describes the dynamics of the moving shape.

### Algorithm

matrice



1. First, sums  $R_i$ ,  $i = 0, 1, 2$  and auto-correlation coefficients  $R_{ij}$  and  $R'_{ij}$ ,  $i, j = 0, 1, 2$  are computed:

$$R_i = \sum_{k=3}^M \mathbf{x}_{k-i}, \quad R_{ij} = \sum_{k=3}^M \mathbf{x}_{k-i} \mathbf{x}_{k-j}^T, \quad R'_{ij} = R_{ij} - \frac{1}{M-2} R_i R_j^T.$$

2. Estimated parameters  $\hat{A}_1$ ,  $\hat{A}_2$  and  $\hat{\mathbf{D}}_0$  are given by

$$\begin{aligned} \hat{A}_2 &= \left( R'_{02} - R'_{01} R_{11}^{-1} R'_{12} \right) \left( R'_{22} - R'_{21} R_{11}^{-1} R'_{12} \right)^{-1} \\ \hat{A}_1 &= \left( R'_{01} - \hat{A}_2 R'_{21} \right) R_{11}^{-1} \\ \hat{\mathbf{D}}_0 &= \frac{1}{M-2} \left( R_0 - \hat{A}_2 R_2 - \hat{A}_1 R_1 \right). \end{aligned}$$

3. The covariance coefficient  $B_0$  is estimated as a matrix square root  $\hat{B}_0 = \sqrt{\hat{C}}$  where

$$\hat{C} = \frac{1}{M-2} \left( R_{00} - \hat{A}_2 R_{20} - \hat{A}_1 R_{10} - \hat{\mathbf{D}}_0 R_0^T \right).$$



# Fitting di una B-spline sull'immagine

- Manualmente,
  - determino i punti sul contorno della forma, calcolo la B-spline
  - aumento gli span fino a quando sono soddisfatto del fitting
- Automaticamente
  - A partire da una forma binaria (ottenuta per esempio via sottrazione del background)
    - estraggo il perimetro
    - campiono il perimetro con una frequenza a piacere, ottengo i nodi
    - calcolo la B-spline



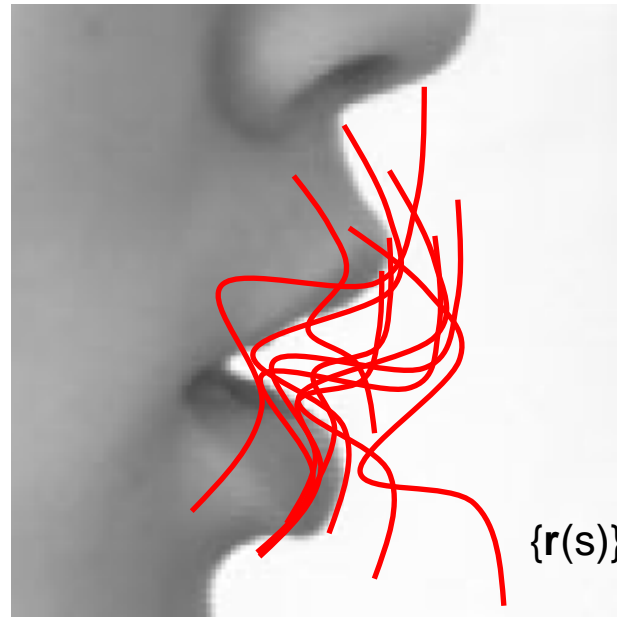
# Applicazione di una B-spline a Condensation

- Parto da uno stato piu' probabile (la posterior)  $\mathbf{x}_{t-2}$
- Ogni particella è un vettore  $\mathbf{x}_{t-1}$  che determina  $\mathbf{Q}$ , da cui origina una B-spline  $\mathbf{r}(s)$
- La fase di **selezione o campionamento** produce un numero alto di campioni  $\{\mathbf{x}_{t-1}\}$
- Ad essi applico la dinamica, ottenendo  $\{\mathbf{x}_t\}$

$$\mathbf{x}_t = A_2\mathbf{x}_{t-2} + A_1\mathbf{x}_{t-1} + \mathbf{D}_0 + B_0\mathbf{w}_t$$



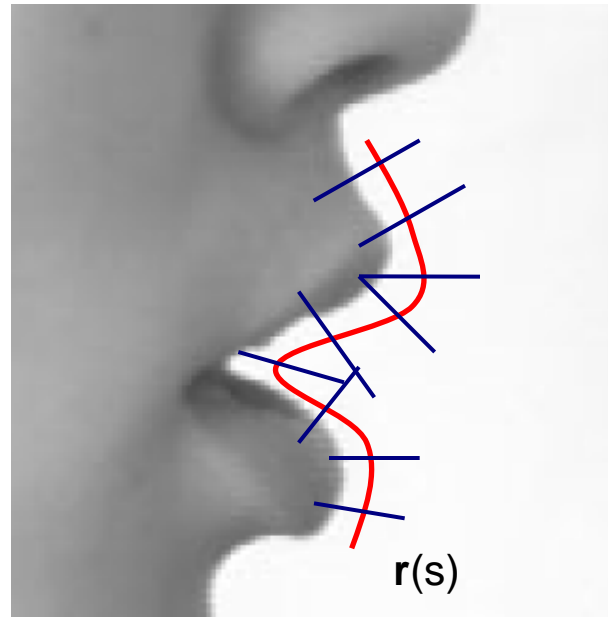
# Applicazione di una B-spline a Condensation (2)



- La fase di **valutazione** valuta la spline che fitta meglio l'obiettivo



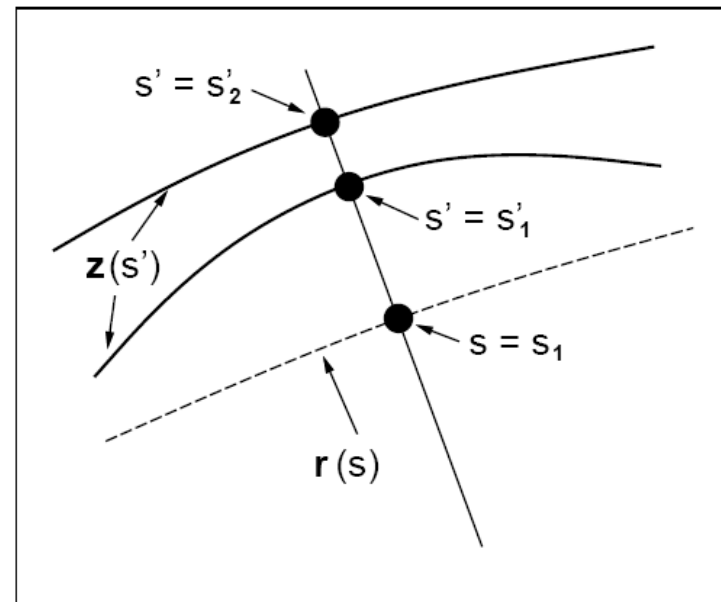
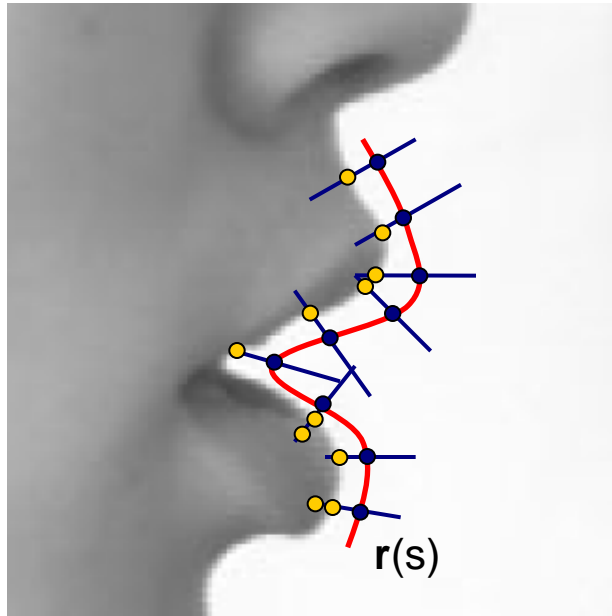
# Applicazione di una B-spline a Condensation (3)



- in corrispondenza di  $M$  punti equispaziati sulla curva, costruisco dei segmenti normali, di lunghezza fissata a priori



# Applicazione di una B-spline a Condensation (4)



- su ogni normale, calcolo gli edge
- noto che si puo' verificare la presenza di piu' edge in corrispondenza di una normale



# Applicazione di una B-spline a Condensation (5)

- La funzione di pesatura o valutazione è

$$p(\mathbf{Z}|\mathbf{x}) \propto \exp \left\{ - \sum_{m=1}^M \frac{1}{2rM} f(\mathbf{z}_1(s_m) - \mathbf{r}(s_m); \mu) \right\}$$

dove

$$\mathbf{z}_1(s) = \mathbf{z}(s')$$

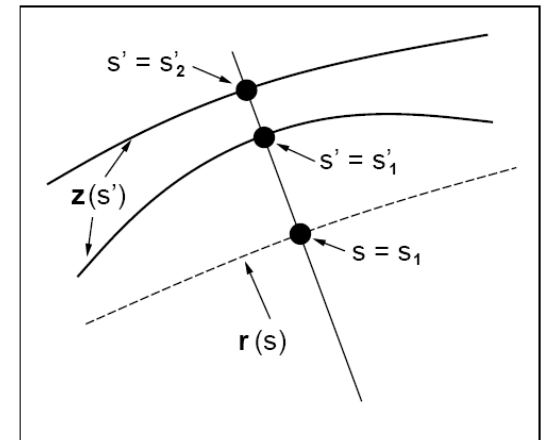
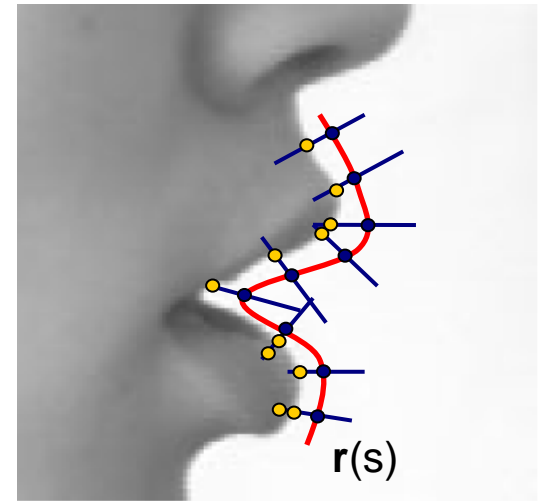
con

$$s' = \arg \min_{s' \in \text{normale}} |\mathbf{r}(s) - \mathbf{z}(s')|$$

e

- $f(\nu; \mu) = \min(\nu^2, \mu^2)$

- $\mu$  scelta opportunamente



# Applicazione di una B-spline a Condensation (6)

- Nota che la sottrazione del background puo' essere inserita nel framework

